

ENSIIE

RAPPORT DE PROJET MATHÉMATIQUE

Projet de Mathématique en groupe (MPM2)

Romain PEREIRA
Cyril PIQUET
Etienne TAILLEFER DE
LAPORTALIÈRE

Enseignants :
M. RASAMOELY
M. PULIDO
M. TORRI
M. LIM

03/04/2018

MPM2 Projet Mathématique 2017-2018

Etienne TAILLEFER DE LAPORTALIERE

Romain PEREIRA

Cyril PIQUET

13/02/2018

Table des matières

1	Modèle de Cox-Ross-Rubinstein	2
1.1	Premier pricer	3
1.2	Deuxième pricer	3
1.3	Comparaison	4
1.4	La couverture	5
2	Modèle de Black-Scholes	6
2.1	Le modèle	6
2.2	Le pricer par la méthode de Monte-Carlo	7
2.3	Le pricer par formule fermée	9
3	Convergence des prix	11
4	EDP de Black-Scholes	12
5	Références	21

Préambule

Ce projet est réalisé dans le cadre de nos études à l'ENSIIE. L'objectif est de modéliser un marché financier et de déterminer les prix et la couverture d'option européenne.

1 Modèle de Cox-Ross-Rubinstein

On a $l = 2^N$ trajectoire possible pour l'évolution du prix de l'actif risqué, entre l'instant initial 1 et l'instant final N.

On a $N + 1$ valeurs possibles pour $S_{t_N}^N$

1. \mathbb{Q} est la probabilité risque-neutre, vérifiant : $\mathbb{E}_{\mathbb{Q}}[T_1^{(N)}] = 1 + r_N$

On note : $q_n = \mathbb{Q}(T_1^{(N)} = 1 + h_N)$ Donc :

$$\begin{aligned}\mathbb{E}_{\mathbb{Q}}[T_1^{(N)}] &= \sum_{t \in T_1^{(N)}(\Omega)} x \mathbb{P}(T_1^{(N)} = t) \\ &= (1 + h_N)q_N + (1 + b_N)(1 - q_N) \\ &= 1 + r_N \\ \Rightarrow \quad q_N &= \frac{r_N - b_N}{h_N - b_N}\end{aligned}\tag{1}$$

2. Soit $p(N) = \frac{1}{(1+r_N)^N} \mathbb{E}_{\mathbb{Q}}[f(S_{t_N}^{(N)})]$, le prix de l'option qui paye $f(S_{t_N}^{(N)})$.

On a :

- $p_{(0)} = f(s)$
- $$\begin{aligned}p_{(1)} &= \frac{1}{(1 + r_N)^1} \mathbb{E}_{\mathbb{Q}}[f(S_{t_1}^{(N)})] \\ &= \frac{1}{(1 + r_N)^1} \mathbb{E}_{\mathbb{Q}}[f(T_1^{(N)} S_{t_0}^{(N)})] \\ &= \frac{1}{1 + r_N} [q_N f((1 + h_N)s) + (1 - q_N) f((1 + b_N)s)] \\ &= [...] \text{ (en se basant sur l'arbre de la figure 1)}\end{aligned}\tag{2}$$
- $$p_{(N)} = \frac{1}{(1 + r_N)^N} \sum_{k=0}^N \binom{N}{k} q_N^k (1 - q_N)^{N-k} f((1 + h_N)^k (1 + b_N)^{N-k} s)$$

1.1 Premier pricer

Code python du 1er pricer. Le code est disponible dans le fichier 'code/pricer.py' et 'code/-Premier_pricer.py'

3. voir ligne 8 à 27 du fichier 'code/Q3.py'

4. voir ligne 6 du fichier 'code/Q4.py'

La fonction renvoie '18.5686591182' pour ces paramètres.

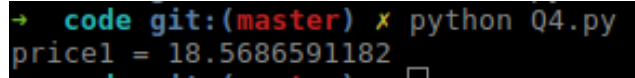


FIGURE 1 – Résultat price1

1.2 Deuxième pricer

Nous allons utiliser un algorithme de calcul récursif.

Ici on a :

$$\begin{aligned} \forall k \in \mathbb{N}, \quad \mathbb{E}_{\mathbb{Q}}[v_{k+1}(S_{k+1}^{(N)})/S_k^{(N)}] &= \sum_{S \in (S_{k+1}^{(N)}/S_k^{(N)})(\Omega)} v_{k+1}(S) \mathbb{P}((S_{k+1}^{(N)})/S_k^{(N)}) = S) \\ &= \boxed{v_{k+1}((1+r_n)S_k^{(N)})q_n + v_{k+1}((1+b_n)S_k^{(N)})(1-q_n)} \\ v_k(S_{t_k}^N) &= \frac{\mathbb{E}_{\mathbb{Q}}[v_{k+1}(S_{k+1}^{(N)})/S_k^{(N)}]}{1+r_N} \\ v_N(S_{t_N}^N) &= f(S_{t_k}^N) \end{aligned}$$

Donc,

$$\boxed{v_k(S_{t_k}^N) = \frac{v_{k+1}((1+r_n)S_k^{(N)})q_n + v_{k+1}((1+b_n)S_k^{(N)})(1-q_n)}{1+r_N}}$$

On peut alors remonter avec une récursion montante (connaissant l'état final).

Code python du 2eme pricer.

5. voir ligne 32 à 39 du fichier 'code/Q5.py'

6. voir ligne 6 du fichier 'code/Q6.py'

La fonction renvoie '10.7573397487' pour ces paramètres.

```

→ code git:(master) x python Q6.py
v(2)(110.25)=17.455
v(2)(99.75)=6.81625
v(1)(105.0)=13.9837009804
v(2)(99.75)=6.81625
v(2)(90.25)=0.0
v(1)(95.0)=4.67781862745
v(0)(100.0)=10.9724865436
price2 = 10.7573397487

```

FIGURE 2 – *Résultat price2*

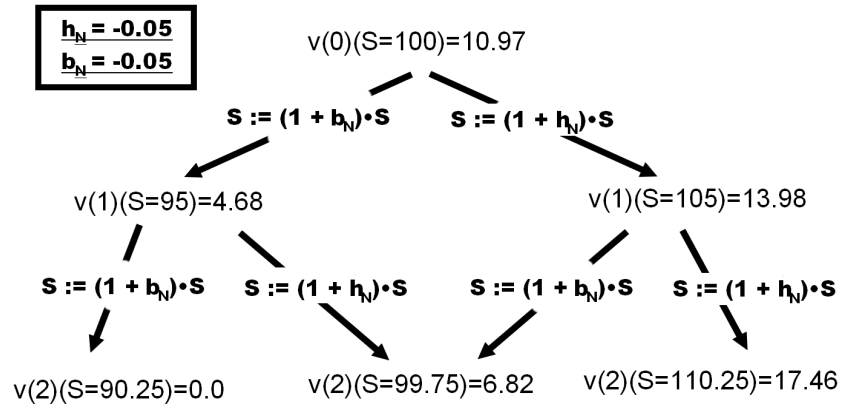


FIGURE 3 – *Résultat price1*

1.3 Comparaison

7. Pour ces entrées, (et pour toutes valeurs de N dans $[5, 15]$ les fonctions *price1* et *price2* renvoient les mêmes prix (à 10^{-11} près).

Voici un résultat obtenu, pour $N = 11$

```

→ code git:(master) x python Q7.py
comparaison pour N = 11
price1 = 27.8240810487
price2 = 27.8240810487

```

FIGURE 4 – *Comparaison price1 et price2*

1.4 La couverture

8.

$$\begin{cases} \alpha_{N-1}(S_{t_{N-1}}^{(N)}) * (1 + h_N) * S_{t_{N-1}}^{(N)} + \beta_{N-1}(S_{t_{N-1}}^{(N)}) * S_{t_N}^{(0)} = f((1 + h_N) * S_{t_{N-1}}^{(N)}) & (L_1) \\ \alpha_{N-1}(S_{t_{N-1}}^{(N)}) * (1 + b_N) * S_{t_{N-1}}^{(N)} + \beta_{N-1}(S_{t_{N-1}}^{(N)}) * S_{t_N}^{(0)} = f((1 + b_N) * S_{t_{N-1}}^{(N)}) & (L_2) \end{cases}$$

$$(L_2) - (L_1) : \alpha_{N-1}(S_{t_{N-1}}^{(N)}) * S_{t_{N-1}}^{(N)} * (h_N - b_N) = f((1 + h_N) * S_{t_{N-1}}^{(N)}) - f((1 + b_N) * S_{t_{N-1}}^{(N)})$$

Donc :

$$\boxed{\alpha_{N-1}(S_{t_{N-1}}^{(N)}) = \frac{f((1 + h_N) * S_{t_{N-1}}^{(N)}) - f((1 + b_N) * S_{t_{N-1}}^{(N)})}{S_{t_{N-1}}^{(N)} * (h_N - b_N)}}$$

On injecte le résultat précédent dans (L_1) :

$$\frac{f((1 + h_N) * S_{t_{N-1}}^{(N)}) - f((1 + b_N) * S_{t_{N-1}}^{(N)})}{(h_N - b_N)} * (1 + h_N) + \beta_{N-1}(S_{t_{N-1}}^{(N)}) * S_{t_N}^{(0)} \quad (3)$$

$$= f((1 + h_N) * S_{t_{N-1}}^{(N)}) \quad (4)$$

Donc :

$$\beta_{N-1}(S_{t_{N-1}}^{(N)}) * (1 + r_N)^N = \frac{(h_N - b_N) * f((1 + h_N) * S_{t_{N-1}}^{(N)}) - f((1 + h_N) * S_{t_{N-1}}^{(N)}) + f((1 + b_N) * S_{t_{N-1}}^{(N)})}{(h_N - b_N)}$$

D'où :

$$\boxed{\beta_{N-1}(S_{t_{N-1}}^{(N)}) = \frac{(1 + h_N) * f((1 + b_N) * S_{t_{N-1}}^{(N)}) - (1 + b_N) * f((1 + h_N) * S_{t_{N-1}}^{(N)})}{(h_N - b_N) * (1 + r_N)^N}}$$

9.

$$\begin{cases} \alpha_{k-1}(S_{t_{k-1}}^{(N)}) * (1 + h_N) * S_{t_{k-1}}^{(N)} + \beta_{k-1}(S_{t_{k-1}}^{(N)}) * S_{t_k}^{(0)} = v_k((1 + h_N) * S_{t_{k-1}}^{(N)}) & (L_1) \\ \alpha_{k-1}(S_{t_{k-1}}^{(N)}) * (1 + b_N) * S_{t_{k-1}}^{(N)} + \beta_{k-1}(S_{t_{k-1}}^{(N)}) * S_{t_k}^{(0)} = v_k((1 + b_N) * S_{t_{k-1}}^{(N)}) & (L_2) \end{cases}$$

De la même manière on obtient :

$$\boxed{\alpha_{k-1}(S_{t_{k-1}}^{(N)}) = \frac{v_k((1 + h_N) * S_{t_{k-1}}^{(N)}) - v_k((1 + b_N) * S_{t_{k-1}}^{(N)})}{S_{t_{k-1}}^{(N)} * (h_N - b_N)}}$$

$$\boxed{\beta_{k-1}(S_{t_{k-1}}^{(N)}) = \frac{(1 + h_N) * v_k((1 + b_N) * S_{t_{k-1}}^{(N)}) - (1 + b_N) * v_k((1 + h_N) * S_{t_{k-1}}^{(N)})}{(h_N - b_N) * (1 + r_N)^N}}$$

10. voir code dans le fichier 'code/Q10.py'

Pour la date 0 la couverture a pour expression :

$$\alpha_0(S_{t_0}^{(2)}) = \frac{v_1((1+h_N) * S_{t_0}^{(2)}) - v_1((1+b_N) * S_{t_0}^{(2)})}{S_{t_0}^{(2)} * (h_N - b_N)}$$

$$\beta_{k-1}(S_{t_{k-1}}^{(N)}) = \frac{(1+h_N) * v_k((1+b_N) * S_{t_{k-1}}^{(N)}) - (1+b_N) * v_k((1+h_N) * S_{t_{k-1}}^{(N)})}{(h_N - b_N) * (1+r_N)^N}$$

avec ici $S_{t_0}^{(2)} = 100$ et $V_1(S_{t_0}^{(2)}) = \frac{\mathbb{E}_Q[f(S_{t_1}^{(2)})/S_{t_0}^{(2)}]}{1+r_N} = \frac{f((1+h_N)S_{t_0}^{(2)})q_N + f((1+b_N)S_{t_0}^{(2)})(1-q_N)}{1+r_N}$ Ainsi avec ces paramètres on trouve pour la couverture à la date t=0 : $\alpha_0(100) = 0.79$ et $\beta_0(100) = -78$

Pour la couverture à la date t1 il y a deux cas : Soit $S_{t_1}^{(2)} = S_{t_0}^{(2)}(1+h_N) = s(1+h_N) = 105$ soit $S_{t_1}^{(2)} = S_{t_0}^{(2)}(1+b_N) = s(1+b_N) = 95$ Il faut donc traiter ces deux cas : Dans les deux cas on a la couverture suivante à la date 1 :

$$\alpha_1(S_{t_1}^{(2)}) = \frac{f((1+h_N) * S_{t_1}^{(2)}) - f((1+b_N) * S_{t_1}^{(2)})}{S_{t_1}^{(2)} * (h_N - b_N)}$$

$$\beta_1(S_{t_1}^{(2)}) = \frac{(1+h_N) * f((1+b_N) * S_{t_1}^{(2)}) - (1+b_N) * f((1+h_N) * S_{t_1}^{(2)})}{(h_N - b_N) * (1+r_N)^2}$$

Ainsi avec ces paramètres on trouve pour la couverture à la date t=1 :

Si $S_{t_1}^{(2)} = 105$ $\alpha_1(105) = 0.97$ et $\beta_1(105) = -91.35$

Si $S_{t_1}^{(2)} = 95$ $\alpha_1(95) = 0$ et $\beta_1(95) = 0$

2 Modèle de Black-Scholes

2.1 Le modèle

11. On sait que pour toutes fonctions $g \in C^2$ on a la formule d'Ito suivante :

$$dg(S_t) = g'(S_t)dS_t + \frac{|\sigma S_t|^2}{2}g''(S_t)dt$$

On applique la formule d'Ito à $\ln(S_t)$

$$d \ln(S_t) = \frac{1}{S_t} dS_t + \frac{|\sigma S_t|^2 - 1}{2} \frac{1}{S_t^2} dt \quad (5)$$

$$\Rightarrow \frac{d \ln(S_t)}{dt} = \frac{1}{S_t} \frac{dS_t}{dt} + \frac{|\sigma S_t|^2 - 1}{2} \frac{1}{S_t^2} \quad (6)$$

Or on a $d(S_t) = S_t(rdt + \sigma d\beta_t)$

Donc :

$$\frac{d \ln(S_t)}{dt} = r + \frac{1}{S_t} \frac{\sigma d\beta_t}{dt} + \frac{|\sigma S_t|^2 - 1}{2 S_t^2}$$

On intègre alors la formule précédente (avec la constante en 0 : s) :

$$\ln(S_t) = \ln(s) + rt + \sigma\beta_t - \frac{\sigma^2}{2}t$$

On a donc :

$$S_t = s \exp^{rt + \sigma\beta_t - \frac{\sigma^2}{2}t}$$

$$\Rightarrow \boxed{S_t = s \exp^{\sigma\beta_t + (r - \frac{\sigma^2}{2})t}}$$

2.2 Le pricer par la méthode de Monte-Carlo

12. La formule est explicite dans le sujet, on utilise la fonction `rnorm` pour le ϵ_i . Voir fichier 'code/Q12.py'

13. voir fichier 'code/Q13.py'

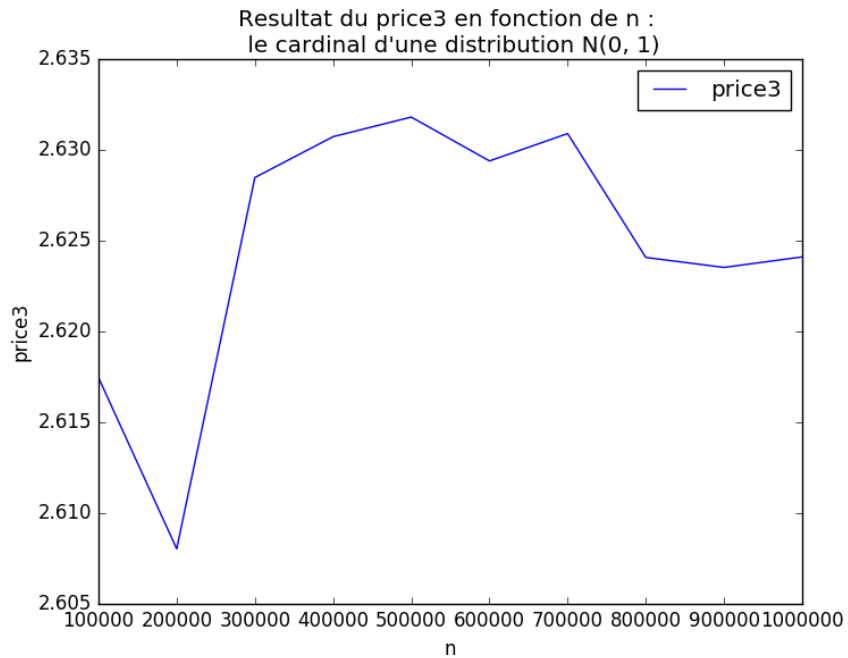


FIGURE 5 – Graphique du `pricer3` en fonction de 'n'

14. Montrons que $(\hat{p}(n))$ converge presque sûrement vers p :

On a :

$$\hat{p}(n) = \frac{1}{n} \sum_{i=1}^n \exp^{-rT} f(s \exp^{(r-\frac{\sigma^2}{2})T + \sigma\sqrt{T}\xi_i})$$

Pour répondre à cette question, nous allons utiliser la loi des grands nombres.

Loi des grands nombres Soit (X_i) une suite de variables intégrables indépendantes 2 à 2 identiquement distribuées, on a alors : \bar{X}_n converge presque sûrement vers $\bar{\mu}_n$ avec $\bar{X}_n = \frac{1}{n} \sum_{i=1}^n X_i$ et $\bar{\mu}_n = E[X_1]$

On note $X_i = \exp^{-rT} f(s \exp^{(r-\frac{\sigma^2}{2})T + \sigma\sqrt{T}\xi_i})$ Or d'après le sujet les (δ_i) sont une suite de variables indépendantes et identiquement distribuées Donc les X_i respectent les conditions de la loi des grands nombres.

Donc $\hat{p}(n)$ converge presque sûrement vers $E[X_1]$

Or $E[X_1] = E[\exp^{-rT} f(s \exp^{(r-\frac{\sigma^2}{2})T + \sigma\sqrt{T}\xi_1})]$

De plus on sait que : $p = E[\exp^{-rt} f(S_t)]$

Or d'après la question 12 on a : $p = E[\exp^{-rT} f(s \exp^{(r-\frac{\sigma^2}{2})T + \sigma\beta_T})]$ avec β_T un mouvement Brownien donc $\forall s \in [0, T]$ on a donc $\beta_t - \beta_s \sim N(0, t-s)$. Donc pour $s=0$ on a : $\beta_T \sim N(0, T)$

Et donc $\frac{\beta_T}{\sqrt{T}} \sim N(0, 1)$ donc on peut noter $\xi_1 = \beta_t \sqrt{t} \sim N(0, 1)$

En faisant ce remplacement p devient :

$$p = E[\exp^{-rT} f(s \exp^{(r-\frac{\sigma^2}{2})T + \sigma\sqrt{T}\xi_1})]$$

$$p = E[X_1]$$

Donc

$\hat{p}(n) \text{ converge presque sûrement vers } p$

2.3 Le pricer par formule fermée

15. La formule est explicite dans le sujet, on utilise la fonction `norm.cdf` pour la fonction de répartition. Voir fichier 'code/Q15.py'

16. voir fichier 'code/Q16.py'

```
→ ProjetMath git:(master) x python code/Q16.py  
put = 2.25740546864
```

FIGURE 6 – *Price3 en fonction de 'n', et 'put'*

17. voir fichier 'code/Q17.py' On remarque que la fonction *price3* oscille autour du prix *put*, et semble converger vers le prix *put*.

Ce graphe confirme ainsi la théorie de la question 14, la suite p_n converge presque sûrement vers p .



FIGURE 7 – *Price3 en fonction de 'n', et 'put'*

18. voir fichier 'code/Q18.py' On remarque que le prix du put ne dépend pas du temps mais que de s . Ainsi le prix du put est indépendant du temps.

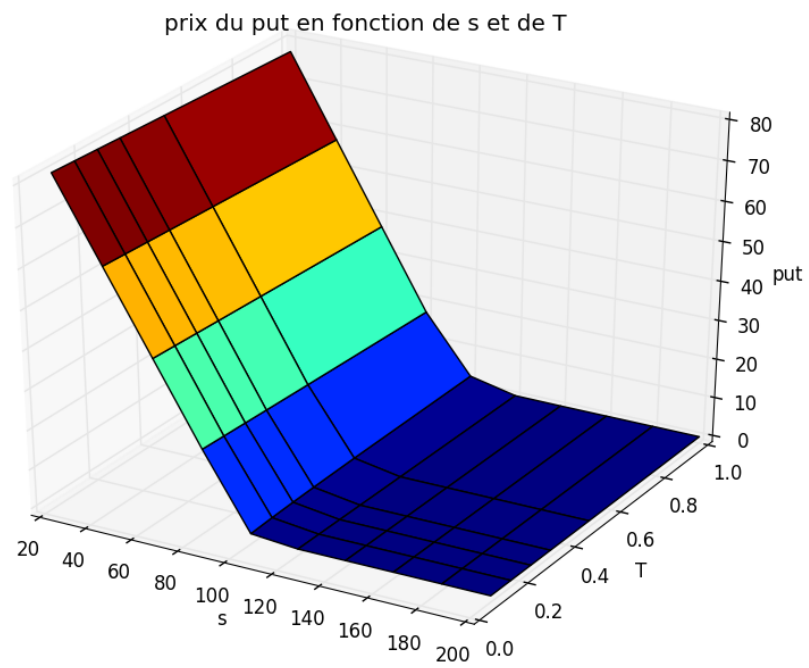


FIGURE 8 – *prix du put en fonction de s et T*

3 Convergence des prix

19. voir fichier ‘code/Q19.py’

On remarque que le *price1* semble converger vers le prix du *put* pour $N \gg 1$. Or à la question 17 nous avons vu que le pricer 3 convergait aussi vers le put. Donc ce graphe montre bien la convergence des prix dans le cas du modèle de Cox-Ross-Rubinstein(*pricer1*) vers les prix donnés dans le cas du modèle de Black-Scholes(*pricer3*).

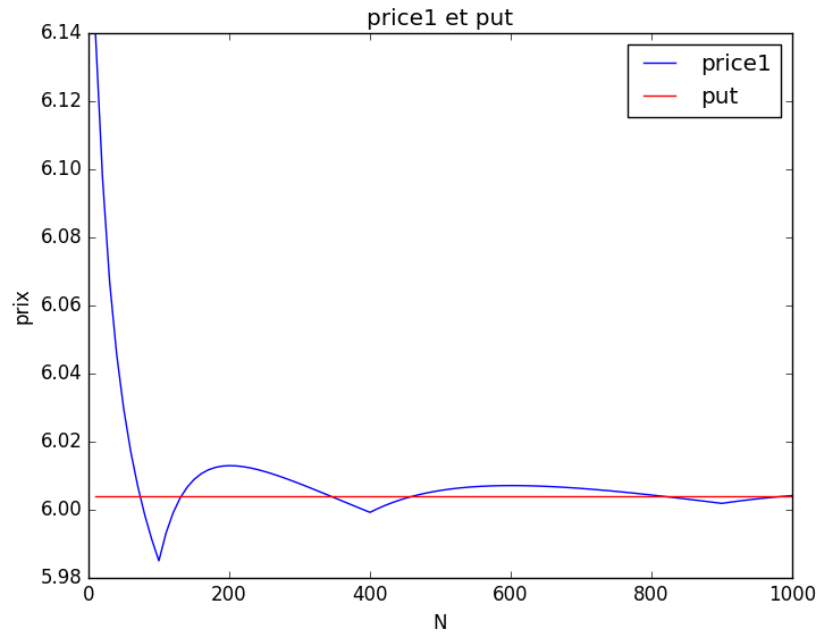


FIGURE 9 – *Price1 et put*

4 EDP de Black-Scholes

La fonction prix du put P vérifie l'équation différentielle suivante $\forall t, S \in [0, T] \times [0, L]$:

$$\frac{\partial P}{\partial t} + rS \frac{\partial P}{\partial S} + \frac{1}{2} \sigma^2 S^2 \frac{\partial^2 P}{\partial S^2} = rP$$

Les conditions de bords nous donnent les valeurs de P en :

$$(T, s) \quad t.q \quad s \in [0, L]$$

$$(t, 0) \quad t.q \quad t \in [0, T]$$

$$(t, L) \quad t.q \quad t \in [0, T]$$

Ce qui peut se représenter sur le plan suivant :

On cherche à intégrer numériquement, afin d'obtenir une estimation des valeurs $P(0, s), \forall s \in [0, L]$.

Pour cela, on discrétise le plan de la façon suivante. Soit $N, M \in \mathbb{N}^*$:

$$\begin{cases} \Delta T = \frac{T}{N} \quad et \quad \forall i \in \{0, \dots, N\}, \boxed{t_i = i\Delta T} \\ \Delta S = \frac{L}{M+1} \quad et \quad \forall j \in \{0, \dots, M+1\}, \boxed{S_j = j\Delta S} \end{cases}$$

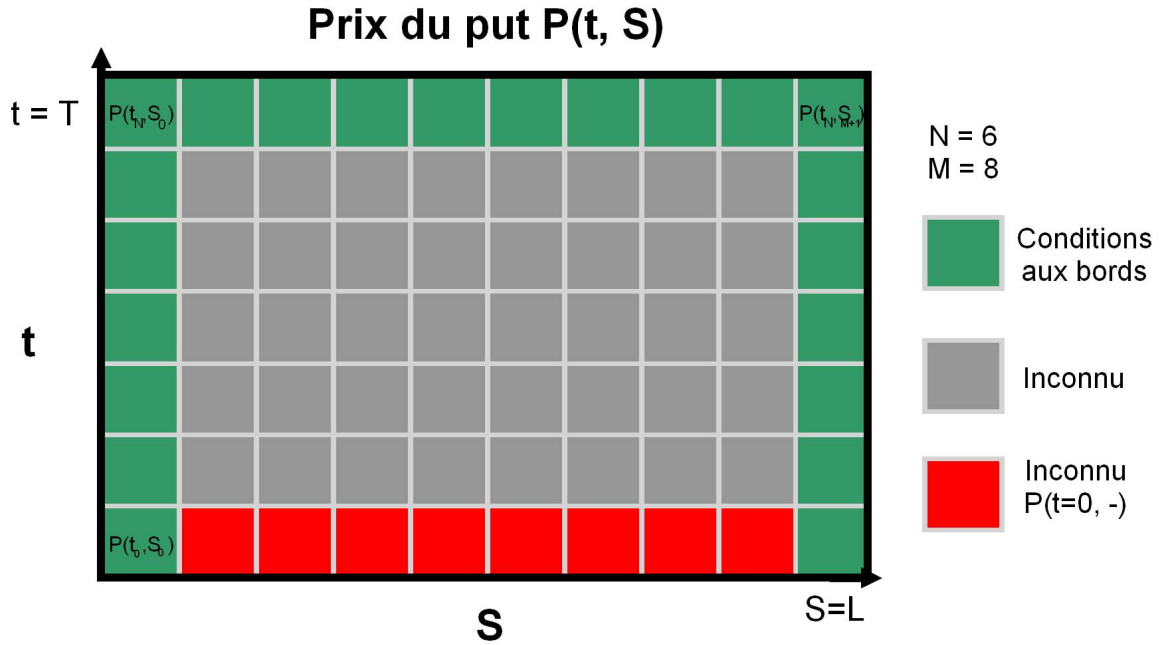


FIGURE 10 – Grille schématisant la résolution

De plus, on effectue les approximations suivantes : $\forall (i, j) \in \{0, \dots, N-1\} \times \{1, \dots, M\}$ et $\forall \theta \in [0, 1]$:

$$\begin{cases} \frac{\partial P}{\partial t}(t_i, S_j) \simeq \frac{1}{\Delta T} (P(t_{i+1}, s_j) - P(t_i, s_j)) \\ \frac{\partial P}{\partial S}(t_i, S_j) \simeq \theta * \frac{P(t_{i+1}, s_{j+1}) - P(t_{i+1}, s_j)}{\Delta S} + (1 - \theta) * \frac{P(t_i, s_{j+1}) - P(t_i, s_j)}{\Delta S} \\ \frac{\partial^2 P}{\partial S^2}(t_i, S_j) \simeq \theta * \frac{P(t_{i+1}, s_{j+1}) - 2P(t_{i+1}, s_j) + P(t_{i+1}, s_{j-1}))}{\Delta S^2} + (1 - \theta) * \frac{P(t_i, s_{j+1}) - 2P(t_i, s_j) + P(t_i, s_{j-1}))}{\Delta S^2} \end{cases}$$

Remarque

- Pour $\theta = 0$, on obtient un schéma d'Euler implicite
- Pour $\theta = 1$, on obtient un schéma d'Euler explicite
- Pour $\theta = \frac{1}{2}$, on obtient la méthode de Crank-Nicolson

En approximant l'équation différentielle $\forall (i, j) \in \{0, \dots, N-1\} \times \{1, \dots, M\}$:

$$\frac{\partial P}{\partial t}(t_i, S_j) + rS_j \frac{\partial P}{\partial S}(t_i, S_j) + \frac{1}{2}\sigma^2 S_j^2 \frac{\partial^2 P}{\partial S^2}(t_i, S_j) = rP(t_{i+1}, S_j)$$

après développement et séparation des termes en t_i et t_{i+1} , on obtient :

$$\left[\frac{1}{\Delta T} + \left(r \frac{S_j}{\Delta S} + \sigma^2 \frac{S_j^2}{\Delta S^2} \right) (1 - \theta) \right] P(t_i, S_j) \quad (7)$$

$$- \left(r \frac{S_j}{\Delta S} + \frac{1}{2}\sigma^2 \frac{S_j^2}{\Delta S^2} \right) (1 - \theta) P(t_i, S_{j+1}) \quad (8)$$

$$- \frac{1}{2}\sigma^2 \frac{S_j^2}{\Delta S^2} (1 - \theta) P(t_i, S_{j-1}) \quad (9)$$

$$= \left[-r + \frac{1}{\Delta T} - \left(r \frac{S_j}{\Delta S} + \sigma^2 \frac{S_j^2}{\Delta S^2} \right) \theta \right] P(t_{i+1}, S_j) \quad (10)$$

$$+ \left(r \frac{S_j}{\Delta S} + \frac{1}{2}\sigma^2 \frac{S_j^2}{\Delta S^2} \right) \theta P(t_{i+1}, S_{j+1}) \quad (11)$$

$$+ \frac{1}{2}\sigma^2 \frac{S_j^2}{\Delta S^2} \theta P(t_{i+1}, S_{j-1}) \quad (12)$$

\Leftrightarrow

$$A_{i,j}P(t_i, S_j) + A_{i,j+1}P(t_i, S_{j+1}) + A_{i,j-1}P(t_i, S_{j-1}) \quad (13)$$

$$= B_{i+1,j}P(t_{i+1}, S_j) + B_{i+1,j+1}P(t_{i+1}, S_{j+1}) + B_{i+1,j-1}P(t_{i+1}, S_{j-1}) \quad (14)$$

Ce qui peut se représenter sous forme des systèmes linéaires suivant $\forall i \in \{0, \dots, N-1\}$

$$AX_i = BX_{i+1} + C_i$$

avec :

- $\forall i \in \{0, \dots, N\}, X_i = \begin{pmatrix} P(t_i, S_0) \\ \dots \\ P(t_i, S_{M+1}) \end{pmatrix}$ (X_N est connu par les conditions initiales, on recherche à déterminer X_0)

$$- A \text{ (tridiagonale)} = \begin{pmatrix} 0 & 1 & 2 & \dots & j-1 & j & j+1 & \dots & M & M+1 \\ A_{0,0} & A_{0,1} & 0 & 0 & \dots & \dots & \dots & \dots & \dots & 0 \\ A_{1,0} & A_{1,1} & A_{1,2} & 0 & \dots & \dots & \dots & \dots & \dots & 0 \\ 0 & A_{2,1} & \dots & \dots & \dots & \dots & \dots & \dots & \dots & \dots \\ 0 & 0 & \dots & \dots & \dots & \dots & \dots & \dots & \dots & \dots \\ \dots & \dots & \dots & \dots & \dots & \dots & \dots & \dots & \dots & \dots \\ \dots & \dots & \dots & \dots & A_{j,j-1} & A_{j,j} & A_{j,j+1} & \dots & \dots & \dots \\ \dots & \dots & \dots & \dots & \dots & \dots & \dots & \dots & \dots & \dots \\ \dots & \dots & \dots & \dots & \dots & \dots & \dots & \dots & \dots & 0 \\ \dots & \dots & \dots & \dots & \dots & \dots & \dots & \dots & \dots & A_{M,M+1} \\ 0 & 0 & \dots & \dots & \dots & \dots & \dots & 0 & A_{M+1,M} & A_{M+1,M+1} \end{pmatrix} \begin{matrix} 0 \\ 1 \\ 2 \\ \dots \\ j-1 \\ j \\ j+1 \\ \dots \\ M \\ M+1 \end{matrix}$$

- $A_{0,0} = 1$
- $A_{0,1} = 0$
- $A_{M+1,M} = 0$
- $A_{M+1,M+1} = 1$

$$- \forall j \in \{1, \dots, M\} \begin{cases} A_{j,j-1} = -\frac{1}{2}\sigma^2 \frac{S_j^2}{\Delta S^2} (1-\theta) \\ A_{j,j} = \frac{1}{\Delta T} + \left(r \frac{S_j}{\Delta S} + \sigma^2 \frac{S_j^2}{\Delta S^2} \right) (1-\theta) \\ A_{j,j+1} = -\left(r \frac{S_j}{\Delta S} + \frac{1}{2}\sigma^2 \frac{S_j^2}{\Delta S^2} \right) (1-\theta) \end{cases}$$

- Tous les autres $A_{i,j} = 0$

$$- B \text{ (tridiagonale)} = \begin{pmatrix} 0 & 1 & 2 & \dots & j-1 & j & j+1 & \dots & M & M+1 \\ B_{0,0} & B_{0,1} & 0 & 0 & \dots & \dots & \dots & \dots & \dots & 0 \\ B_{1,0} & B_{1,1} & B_{1,2} & 0 & \dots & \dots & \dots & \dots & \dots & 0 \\ 0 & B_{2,1} & \dots & \dots & \dots & \dots & \dots & \dots & \dots & \dots \\ 0 & 0 & \dots & \dots & \dots & \dots & \dots & \dots & \dots & \dots \\ \dots & \dots & \dots & \dots & \dots & \dots & \dots & \dots & \dots & \dots \\ \dots & \dots & \dots & \dots & B_{j,j-1} & B_{j,j} & B_{j,j+1} & \dots & \dots & \dots \\ \dots & \dots & \dots & \dots & \dots & \dots & \dots & \dots & \dots & 0 \\ \dots & \dots & \dots & \dots & \dots & \dots & \dots & \dots & \dots & B_{M,M+1} \\ 0 & 0 & \dots & \dots & \dots & \dots & \dots & 0 & B_{M+1,M} & B_{M+1,M+1} \end{pmatrix} \begin{matrix} 0 \\ 1 \\ 2 \\ \dots \\ j-1 \\ j \\ j+1 \\ \dots \\ M \\ M+1 \end{matrix}$$

- $B_{0,0} = 0$
- $B_{0,1} = 0$
- $B_{M+1,M} = 0$
- $B_{M+1,M+1} = 0$

$$- \forall j \in \{1, \dots, M\} \begin{cases} B_{j,j-1} = \frac{1}{2}\sigma^2 \frac{S_j^2}{\Delta S^2} \theta \\ B_{j,j} = -r + \frac{1}{\Delta T} - \left(r \frac{S_j}{\Delta S} + \sigma^2 \frac{S_j^2}{\Delta S^2} \right) \theta \\ B_{j,j+1} = \left(r \frac{S_j}{\Delta S} + \frac{1}{2}\sigma^2 \frac{S_j^2}{\Delta S^2} \right) \theta \end{cases}$$

$$\begin{aligned}
& - \text{ Tous les autres } B_{i,j} = 0 \\
& - C_i \text{ conditions de bords} = \begin{pmatrix} P(t_i, S_0) \\ 0 \\ \dots \\ 0 \\ P(t_i, S_{M+1}) \end{pmatrix} \begin{matrix} 0 \\ 1 \\ \dots \\ M \\ M+1 \end{matrix}
\end{aligned}$$

Remarque Les valeurs de $A_{0,0}, B_{0,0}, B_{0,1}, B_{M+1,M}, B_{M+1,M+1}, C_0, C_M$ ont été choisit de sorte à ce que l'équation $AX_i = BX_{i+1} + C_i$ soit vérifié pour les lignes 0 et $M+1$. Ce sont les *conditions initiales*.

X_N est déterminé par les conditions initiales, on peut donc en déduire X_{N-1} , puis par récurrence sur le système, X_i devient connu $\forall i \in \{0, \dots, N-1\}$.

On a donc $N-1$ systèmes linéaires : $\forall i \in \{0, \dots, N-1\}, AX_i = b_i$, avec $b_i = BX_{i+1} + C_i$, qu'il nous reste à résoudre dans l'ordre i décroissant, afin d'obtenir X_0 : approximation du prix du put $P(0, S)$ en $t = 0, S \in [0, L]$

Optimisation A est indépendante de i , on a donc uniquement à la générer une fois au début de la résolution. Avec une résolution par la méthode de Gauss (triangulation + résolution), on aurait une complexité temporelle en $\frac{2}{3}M^3 + o(M^3)$ Or, A est tridiagonale, on peut donc optimiser la résolution, et on atteint une complexité temporelle en $8M + o(M)$ (factorisation LU + résolution) (voir 1 p.8-9)

De plus, on gagne aussi en performance mémoire : A tridiagonale peut être stocker en $3M + o(M)$ (de même pour B)

Résolution La résolution de ces systèmes (en Python) est réalisé avec la bibliothèque *scipy.linalg* et *numpy*, qui propose une fonction optimisé de résolution de tels systèmes. (voir 2)

Le code qui a généré les résultats suivant est disponible dans les fichiers 'code/EDP.py'.

Voici l'algorithme en pseudo-code :

Algorithm 1 Résolution de l'équation différentielle de Black-Scholes

Require: $M, N \in \mathbb{N}^*, K, R, \sigma \in \mathbb{R}, \theta \in [0, 1]$

$\delta T \leftarrow \frac{T}{N}$

$\delta S \leftarrow \frac{T}{M+1}$

Initialiser les matrices A et B (avec $K, R, \sigma, \theta, \delta T$ et δS)

Initialiser X_N (conditions aux bords)

for $i := N-1; i \geq 0; i := i-1$ **do**

 Calculer $b_i \leftarrow B.X_{i+1} + C_i$

 Résoudre système triangulaire : $X_i := \text{solve}(A.X_i = b_i)$

end for

Renvoyer X_0

Pour les méthodes **implicit** et de **Crank Nicholson**, la méthode est toujours **stable** (voir 3) On obtient une erreur relative entre les 2 solutions :

```
erreurs relatives:
Entre 0.0 et 0.5 (implicit et Crank Nicholson): 0.0182623582044
```

FIGURE 11 – *Erreur relative entre les 2 solutions obtenus*

On obtient les solutions suivantes pour le prix du put à $t = 0$:

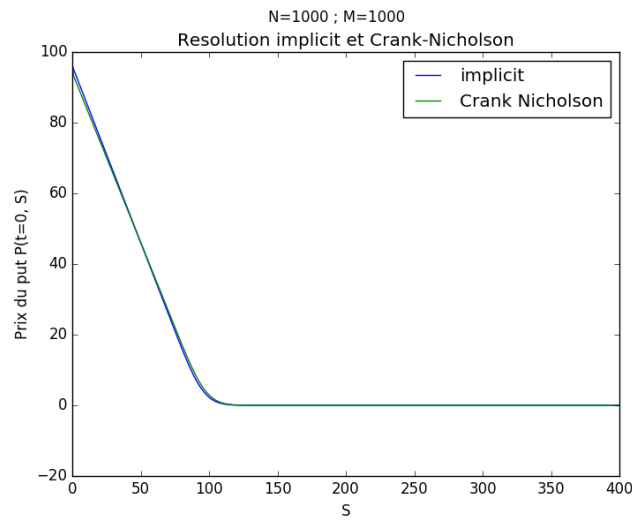


FIGURE 12 – *Solutions obtenus par méthode implicit et Crank-Nicholson*

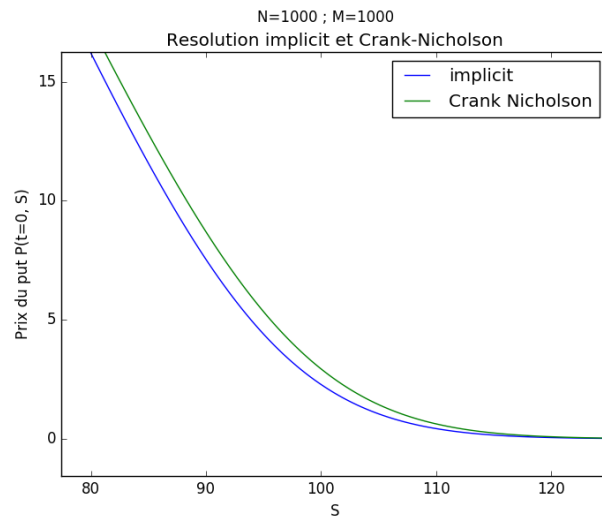


FIGURE 13 – *Solutions obtenus par méthode implicit et Crank-Nicholson (zoomées)*

Pour la méthode **explicit**, le schéma est stable si le pas de temps est de l'ordre du carré du pas d'espace. Autrement dit, si :

$$\Delta t \simeq \Delta S^2$$

On observe cette instabilité pour $M = N = 296$ (voir 'code/Q20/EDP_296_296.py') :

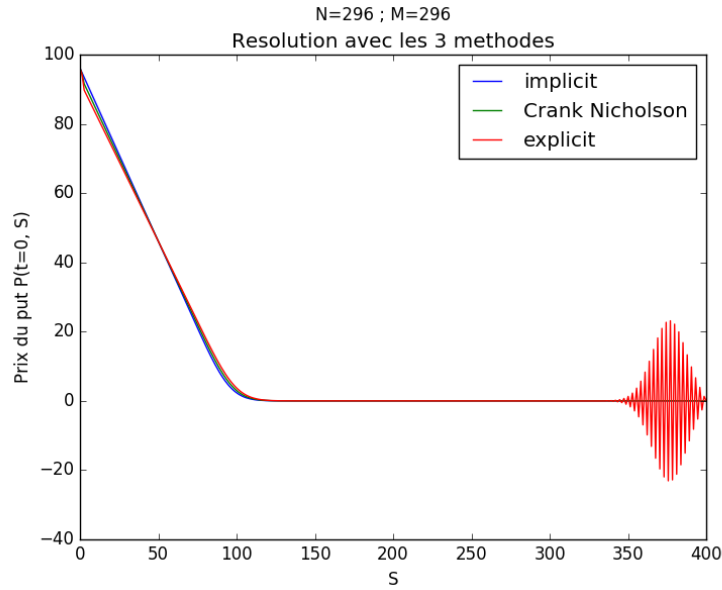


FIGURE 14 – *Solution avec les 3 méthodes*

```
erreurs relatives:
Entre 0.0 et 0.5 (implicit et Crank Nicholson): 1.52693458709e-05
Entre 0.0 et 1.0 (implicit et explicit)      : 0.156261138262
Entre 0.5 et 1.0 (explicit et Crank Nicholson): 0.156261215572
```

FIGURE 15 – *Erreur relative entre les 3 méthodes pour $M = N = 296$*

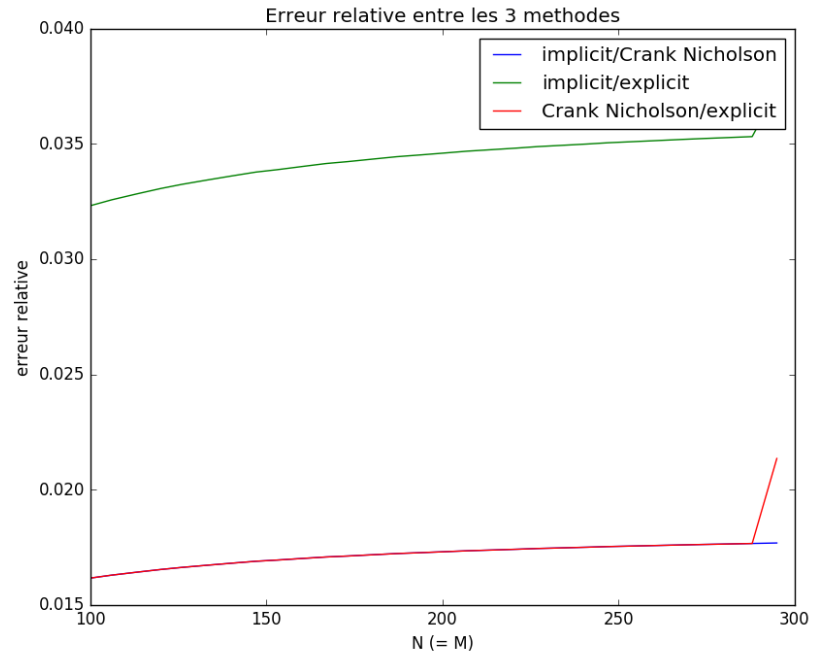


FIGURE 16 – *Erreur relative entre les 3 méthodes pour $M = N \in [100, 296]$*

On en déduit que lorsque les 3 méthodes convergent, elles donnent des résultats très proches. Pour M plus grand que 296, la divergence de la méthode explicite fait exploser l'erreur relative.

Pour $M = 1000$ et $N = M^2$, la méthode explicit est stable et on obtient la solution suivante (voir 'code/Q20/EDP_1000_1000000.py') :

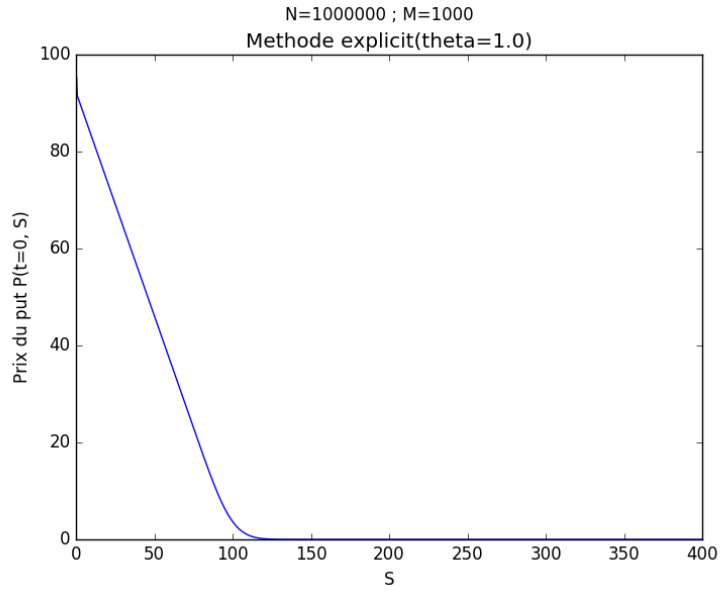


FIGURE 17 – *Solution explicit avec un rapport quadratique sur les pas*

```
python EDP.py 917,25s user 0,30s system 96% cpu 15:47,37 total
```

FIGURE 18 – *Temps d'exécution de la résolution explicit pour $M = 1000$ et $N = M^2$ précédente (15m47s)*

Expression approchée Finalement, en guise de **bonus**, on se propose d'obtenir une expression approchée du prix du put $P(t=0, S)$. Pour cela, et d'après l'allure des figures, on se propose d'approcher cette fonction par le modèle exponentielle suivant (voir 'code/Q20/EDP_Modele_exponentielle.py') :

$$P(t=0, S) = ae^{-bS^3 - cS + d} + e \quad t.q. \quad a, d, e \in \mathbb{R} \quad et \quad b, c \in \mathbb{R}_+$$

Grâce aux modules 'numpy' et 'scipy' de Python, on a pu obtenir un modèle rapidement (voir [curve_fit 4](#)) :

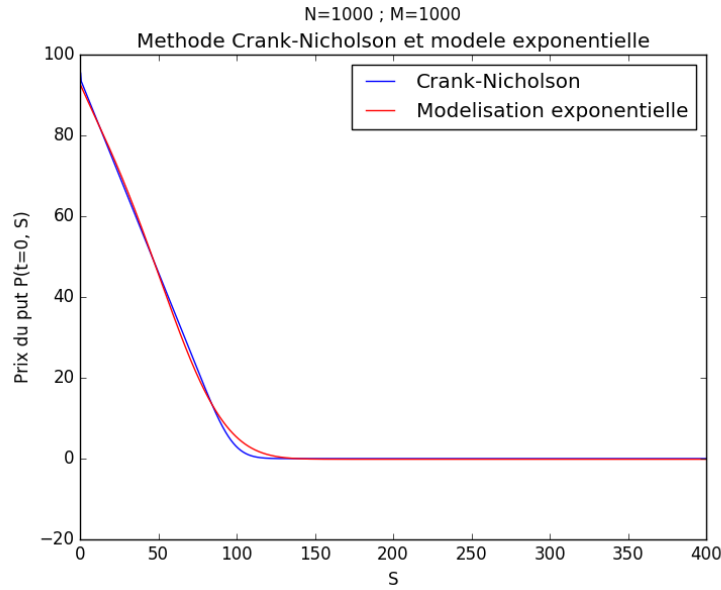


FIGURE 19 – *Modèle exponentielle obtenu*

```

erreur relative:
0.0278998216807
modele P(t=0, S) = a * exp(-b * S^3 - c * S + d) + e
avec: a=5.032027, b=0.000002, c=0.009344 d=2.915998 e=-0.156397

```

FIGURE 20 – *Erreur relative et paramètre optimal obtenu, entre le résultat obtenu par la méthode de Crank-Nicholson et le modèle exponentielle*

5 Références

- [1] 'Analyse Numérique' - Paola GOATIN
<https://team.inria.fr/opale/files/2011/11/Anum.pdf>
- [2] 'Résolution de système linéaires 'en bande' - SCIPY
<https://docs.scipy.org/doc/scipy/reference/linalg.html>
- [3] 'Finite difference method' - Wikipédia
https://en.wikipedia.org/wiki/Finite_difference_method
- [4] scipy.optimize.curve - Documentation scipy
https://docs.scipy.org/doc/scipy/reference/generated/scipy.optimize.curve_fit.html